



Кыргызско-Российский Славянский Университет

Кыргыз-Орусиялык Славян Университети

Kyrgyz-Russian Slavic University



# Актуальные проблемы теории управления, ТОПОЛОГИИ и операторных уравнений

Материалы 2-й международной конференции, посвящённой  
20-и летию образования Кыргызско-Российского Славянского  
Университета (КРСУ) им. первого президента Б.Н. Ельцина  
и 100-летию профессора Якова Васильевича Быкова

(5-7 сентябрь, 2013 год, санаторий «Иссык-Куль Аврора»)

## Том 1

Бишкек 2013

УДК 51  
ББК 22.1  
3

Актуальные проблемы теории управления, топологии и операторных уравнений: Материалы второй международной юбилейной конференции, посвященной 20-летию образования Кыргызско-Российского Славянского университета (КРСУ) им. первого президента Б.Н. Ельцина и 100-летию профессора Якова Васильевича Быкова. Санаторий «Иссык-Куль Аврора»: 5-7 сентября 2013 года. Под общ. ред. проф. А.К. Керимбекова. – Бишкек: Изд-во КРСУ. Том 1. – 254 с.

ISBN 978-9967-19-013-09

Сборник содержит статьи по актуальным проблемам теории управления, топологии, геометрии, динамических систем, операторных уравнений и методики преподавания математики в высшей школе. В статьях сборника рассмотрены задачи нелинейного оптимального управления процессами, описываемыми интегро-дифференциальными уравнениями; вопросы управляемости, наблюдаемости и стабилизации систем с распределенными параметрами; свойства ультринормированных и мультиунитарных пространств, которые являются обобщением нормированных и унитарных пространств; свойства отображений и равномерных пространств; актуальные проблемы теории дифференциальных, интегральных и интегро-дифференциальных уравнений и механики твердого тела и других разделов механики; актуальные вопросы математического моделирования и компьютерных методов; а также проблемы преподавания математики в высшей школе.

Сборник предназначен для студентов, аспирантов и научных работников, интересующихся теорией и приложениями теории оптимального управления, топологии и геометрии, дифференциальных, интегральных и интегро-дифференциальных уравнений, динамических систем, математического моделирования и компьютерных методов, а также проблемами преподавания математики в высшей школе.

А 160201400-08  
ISBN 978-9967-19-013-09

УДК 51  
ББК 22.1

© КРСУ, 2013

Яков Васильевич

1. *Абиев Н.А.* Об пространствах Ус
2. *Борубаев А.А.* и унитарных про
3. *Касымова Т.Д.*
4. *Матиева Г.,* и поверхности гра

1. *Александров* почво-расти модели AGR
2. *Егоров А.И.* с обыкновенны
3. *Живоглядов*
4. *Керимбеков* граничного упр вольтеррово ин
5. *Максимов Е* неравенств-
6. *Мурзабеков* на значения уп
7. *Сейдакма* описываем

ДУ

1. *Абдылдаев*
2. *Алымкулов* сингулярн
3. *Алымкулов* случай вн
4. *Асанов А.* уравнени
5. *Аширбаев* в частных пр к решению и

2. Лехницкий С.Г. Теория упругости анизотропного тела.– М.: Наука, 1977.- 416 с.
3. Аманалиев А.А., Жумабаев Б. Напряженное состояние пород вокруг выработок, расположенных в горной местности в слоистом массиве. //Наука и новые технологии/ГКННТ.– 1996.– №2.– С. 45-49.
4. Кирьянов Д.В. МATHCAD 14- Санк-Петербург.:БВХ-Петербург.- 2007.704 с.

## ИССЛЕДОВАНИЕ ВИХРЕВЫХ СТРУКТУР ЗА ПОПЕРЕЧОЙ СТРУЕЙ В СВЕРХЗВУКОВОМ ПОТОКЕ

*А.О. Бекетаева<sup>1</sup>, Т.Б. Дуйшеналиев<sup>2</sup>, Ш.М. Бердиева<sup>1</sup>*

<sup>1</sup>Институт математики и матмоделирования МОиН Республики Казахстан,

Алматы, Казахстан, <sup>2</sup>КГТУ им. И. Раззакова, Бишкек, Кыргызстан

Вдвуг струи в набегающий поток является очень интересной и важной задачей, которая рассматривается для изучения течений, возникающих в различных технологических приложениях. Присутствие зон возвратных течений, турбулентности и если течение сверхзвуковое – то наличие ударных волн и волн разрежения являются огромной проблемой в изучении физики такого рода течения. Одним из самых актуальных вопросов является смешивание потока с вдуваемой струей (например смешение потока с топливом). Целью исследования является численное моделирование вдува круглой звуковой струей перпендикулярно сверхзвуковому потоку в прямоугольном канале. Для удобства вычисления рассматривается вдув струи только с нижней стенки. Схема течения показана на рисунке 1.

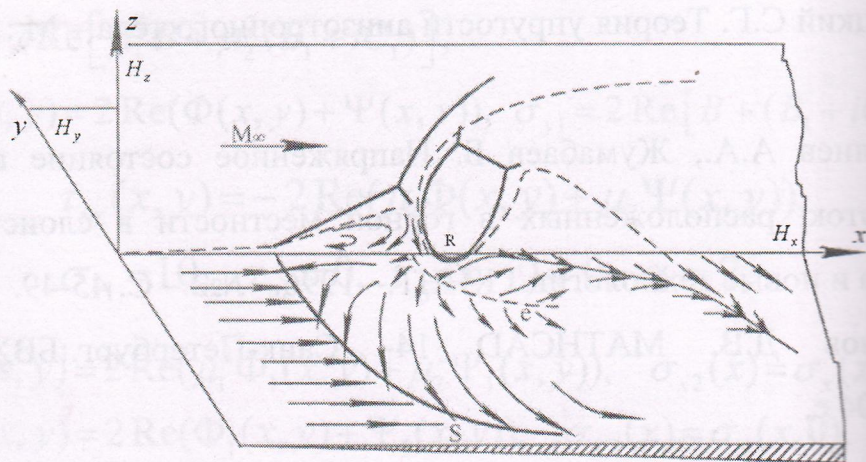


Рисунок 1 - Схема течения

### Постановка задачи.

Исходной является система трехмерных осредненных по Фавру уравнений Навье-Стокса для сжимаемого турбулентного газа, записанная в декартовой системе координат в консервативной форме:

$$\frac{\partial U}{\partial t} + \frac{\partial(E-E_v)}{\partial x} + \frac{\partial(F-F_v)}{\partial z} + \frac{\partial(G-G_v)}{\partial y} = S$$

компоненты векторов  $U, E, F, G$  определяются выражениями:

$$U = \begin{pmatrix} \rho \\ \rho u \\ \rho v \\ \rho w \\ E_t \\ \rho k \\ \rho \omega \end{pmatrix}, \quad E = \begin{pmatrix} \rho u \\ \rho u^2 + P \\ \rho uv \\ \rho uw \\ (E_t + P)u \\ \rho uk \\ \rho u\omega \end{pmatrix}, \quad F = \begin{pmatrix} \rho w \\ \rho wv \\ \rho w^2 + P \\ (E_t + P)w \\ \rho wk \\ \rho w\omega \end{pmatrix}, \quad G = \begin{pmatrix} \rho v \\ \rho uv \\ \rho v^2 + P \\ \rho vw \\ (E_t + P)v \\ \rho vk \\ \rho v\omega \end{pmatrix},$$

а компоненты  $E_v, F_v, G_v$  связаны с вязкими напряжениями:

$$E_v = \left( 0, \tau_{xx}, \tau_{xy}, \tau_{xz}, u\tau_{xx} + v\tau_{xz} + w\tau_{xz} - q_x, \frac{1}{Re}(\mu_l + \sigma_k \mu_t) \frac{\partial k}{\partial x}, \frac{1}{Re}(\mu_l + \sigma_\omega \mu) \frac{\partial \omega}{\partial x} \right)^T$$

$$F_v = \left( 0, \tau_{xz}, \tau_{yz}, \tau_{zz}, u\tau_{xz} + v\tau_{yz} + w\tau_{zz} - q_z, \frac{1}{Re}(\mu_l + \sigma_k \mu_t) \frac{\partial k}{\partial z}, \frac{1}{Re}(\mu_l + \sigma_\omega \mu) \frac{\partial \omega}{\partial z} \right)^T$$

$$G_v = \left( 0, \tau_{xy}, \tau_{yy}, \tau_{yz}, u\tau_{xy} + v\tau_{yy} + w\tau_{yz} - q_y, \frac{1}{Re}(\mu_l + \sigma_k \mu_t) \frac{\partial k}{\partial y}, \frac{1}{Re}(\mu_l + \sigma_\omega \mu) \frac{\partial \omega}{\partial y} \right)^T$$

Вектор дополнительных членов имеет следующий вид:

$$\vec{S} = (0, 0, 0, 0, 0, (P_k - \beta^* \rho \omega k), (\gamma \rho P_k / \mu_t - \beta \rho \omega^2))^T$$

$$P_k = \mu_t \left[ \left( \frac{\partial u_i}{\partial x_j} + \frac{\partial u_j}{\partial x_i} \right) \frac{\partial u_i}{\partial x_j} - \frac{2}{3} \left( \frac{\partial u_k}{\partial x_k} \right)^2 \right] - \frac{2}{3} \rho k \frac{\partial u_k}{\partial x_k} \quad \text{где } i, j, k=1, 2, 3$$

Константы принимают следующие значения  $\sigma_k=0.5$ ,  $\sigma_\omega=0.5$ ,  $\beta^*=0.09$ ,  $\beta=0.075$ ,  $\gamma=5/9$ , здесь  $k, \omega$  - кинетическая энергия турбулентности и скорость диссипации кинетической энергии турбулентности.  $P_k$  - член генерации турбулентности. Система (1) замкнута с помощью алгебраической  $k-\omega$  модели турбулентности Вилкокса [1] где турбулентная вязкость определяется по формуле  $\mu_t = \frac{\rho k}{\omega}$ . Давление и температура запишутся:

$$P = (\gamma - 1) \left[ E_t - \frac{(\rho u^2 + \rho w^2 + \rho v^2)}{2} \right], \quad T = \left( \frac{1}{\rho c_v} \right) \left[ E_t - \frac{(\rho u^2 + \rho w^2 + \rho v^2)}{2} \right], \quad c_v = \frac{1}{\gamma(\gamma - 1)M_\infty^2}$$

Исходная система (1) записана в безразмерной форме. В качестве определяющих параметров приняты параметры на входе  $u_\infty, \rho_\infty, T_\infty$ , давление и полная энергия отнесены к значению  $\rho_\infty u_\infty^2$ , характерным размером длины является диаметр круглого отверстия.

### Граничные условия.

На входе задаются параметры потока. Начальные данные для  $k, \omega$  параметров определялись с использованием алгебраической модели турбулентности Болдуина - Ломакса по известным осредненным физическим параметрам входного потока. На нижней стенке задавались условия прилипания и теплоизоляции. Вблизи стенки задается пограничный слой продольная составляющая скорости аппроксимируется степенным законом. На струе задавались параметры струи, на верхней границе условие симметрии, на боковых границах и на выходной границе задается условие неотражения [2].

### Метод решения.

В соответствии с принципом построения ENO-схемы [1], исходная система уравнений в обобщенных координатах будет формально представляется следующим образом:

$$\frac{\partial \tilde{U}}{\partial t} + (\tilde{A}^+ + \tilde{A}^-) \frac{\partial \tilde{E}^m}{\partial \xi} + (\tilde{B}^+ + \tilde{B}^-) \frac{\partial \tilde{F}^m}{\partial \eta} + (\tilde{C}^+ + \tilde{C}^-) \frac{\partial \tilde{G}^m}{\partial \zeta} - \left[ \frac{\partial(\tilde{E}_{v2} + \tilde{E}_{vm})}{\partial \xi} + \frac{\partial(\tilde{F}_{v2} + \tilde{F}_{vm})}{\partial \eta} + \frac{\partial(\tilde{G}_{v2} + \tilde{G}_{vm})}{\partial \zeta} \right] = 0 \quad (2)$$

здесь  $\tilde{E}^m = \tilde{E} + \tilde{E}_\xi$ ,  $\tilde{F}^m = \tilde{F} + \tilde{E}_\eta$ ,  $\tilde{G}^m = \tilde{G} + \tilde{E}_\zeta$  - модифицированные потоки узловых точках  $(i,j,k)$ , состоящих из исходных конвективных векторов  $(\tilde{E}, \tilde{F}, \tilde{G})$  и добавочных членов второго порядка точности (TVD схема)  $(\tilde{E}_\xi, \tilde{E}_\eta, \tilde{E}_\zeta)$ . Для более точного учета течения в пограничном слое, вблизи стенки уровня струи, вводится сгущение сетки с помощью преобразований  $\xi = \xi(z)$ ,  $\eta = \eta(z)$ ,  $\zeta = \zeta(y)$ . Неявный алгоритм решения системы уравнений подробно описан в [3].

### Анализ результатов

Расчет производился на разнесенной сетке размером  $20 \times 10 \times 101$  с шагом по пространственным координатам  $\Delta x = 0.1 \div 0.5$ ,  $\Delta z = 0.06 \div 0.25$ ,  $\Delta y = 0.1 \div 0.5$  шаг по времени  $\Delta t = 0.025$ . Использовались следующие значения характерных параметров:  $Re = 10^4$ ,  $Pr = 0.9$ ,  $M_0 = 1$ ,  $M_\infty = 4$ , параметр нерасчетности  $\beta = 0.1$ ,  $x_0 = 16$ ,  $y_0 = 16$  - расстояние от входной границы до центра струи в калибрах.  $H_z = 58$ ,  $H_x = 24$ ,  $H_y = 30$  калибров.

На рисунке 2 представлено поле вектора скорости в плоскости сечения  $x = 37$  калибров от входной границы. Как видно из рисунка, в данном сечении хорошо просматривается вихревая система, которая возникает вследствие бокового расширения вдуваемой струи и ее взаимодействия с набегающим потоком [4]. Эта система состоит из: 1- пары вихрей с изогнутой формой, 2- пары продольных вихрей, 3- пары нижних вихрей.

Вихрь с изогнутой формой возникает вследствие взаимодействия струи, прошедшего диск Маха, с набегающим основным потоком. Течение в этом вихре обусловлено в основном вдуваемой струей. Продольный вихрь формируется в зоне смешения между боковой стороной боковой струи, сформированной в результате расширения струи, и набегающим боковым

формированной в результате расширения струи, и набегающим боковым потоком. Вышеуказанные вихревые системы - продольная и изогнутой формы (2 на рис.2), по мере их движения вниз по течению, уже в сечении  $x=40$ , сливаются в один вихрь. Этот вихрь вносит основной вклад в смещение струи потока.

И наконец, третья пара вихрей (3 на рис.2), расположена у поверхности пластины. Эта пара вихрей возникает вследствие того, что сложная структура струи, отделяясь от поверхности пластины, создает область с низким давлением. В образовавшуюся область низкого давления движется набегающий поток по направлению к линии симметрии и формирует третий вихрь. Этот вихрь полностью состоит из окружающего пограничного

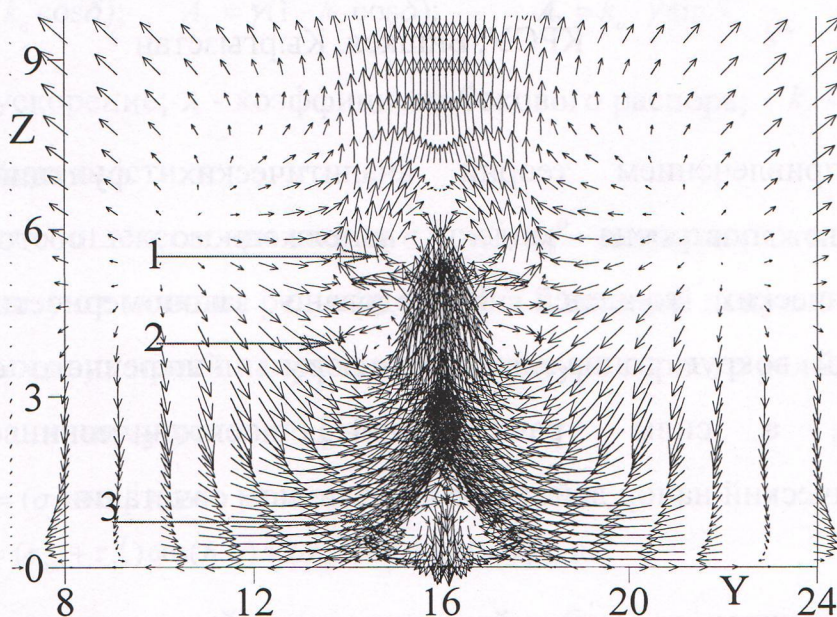


Рисунок 2. Поле вектора скорости в плоскости  $yz$  в сечении  $x=37$ .

Из рисунка следует, что при сверхзвуковых течениях все вертикальные вихревые структуры формируются за счет ударных волн и зон взаимодействия струи и потока.

### Литература

D.C. Wilcox, A two-equation turbulence model for wall-bounded and free-shear flow // AIAA paper 93-2905, 1993.

- 2 Poinso T.J., Lele S.K. Boundary Conditions for Direct Simulation of Compressible Viscous Flows // Journal of Comp. Physics. 1992. № 101. P. 129.
- 3 Бекетаева А.О. Найманова А.Ж. Применение ENO (Essentially Oscillatory) схемы для моделирования течения многокомпонентной газовой смеси. // Вычислительные технологии, 2007. Т.12, № 4. С. 17-25
- 4 Viti V., Neel R., Schetz J. "Detailed Flow Physics of the Supersonic Interaction Flow Field" // Physics of Fluids, Vol. 21, April, 2009.

## НАПРЯЖЕННО-ДЕФОРМИРОВАННОЕ СОСТОЯНИЕ ПОРОД ВОКРУГ НАПОРНЫХ ГИДРОТЕХНИЧЕСКИХ ТОННЕЛЕЙ

*Ботоканова Б.А., Жумабаев Б.*

КРСУ, Бишкек, Кыргызстан

С привлечением теории аналитических функций комплексного переменного построена модель напряженного состояния пород вокруг напорных гидротехнических тоннелей. Исследованы закономерности распределения напряжений вокруг тоннелей, когда формы поперечного сечения тоннелей проектные, а силы гравитационные, тектонически сжимающие и гидростатический напор действует в различном сочетании.

Аналитическое описание напряженного состояния массивов пород вокруг напорных гидротехнических тоннелей, расположенных в горной местности, достигнуто путем склеивания четырех полей напряжений.

$$\sigma_x = \sigma_x^I + \sigma_x^p + \sigma_x^g + \sigma_x^h, \quad \sigma_y = \sigma_y^I + \sigma_y^p + \sigma_y^g + \sigma_y^h, \quad \tau_{xy} = \tau_{xy}^I + \tau_{xy}^p + \tau_{xy}^g + \tau_{xy}^h$$

Первое поле – распределение напряжений в плоской бесконечной рамке гипотезы А.Н. Динника. Второе поле напряжений обусловлено влиянием рельефа каньона и характеризуется наличием выреза на контуре в плоской бесконечной рамке. Третье поле напряжений характеризует образующую тоннеля в произвольном месте в плоской бесконечной рамке с вырезом.